

Ageneiosus magoi, Una Nueva Especie de Bagre Ageneiosido (Teleostei, Siluriformes) para Venezuela y Algunas Notas Sobre su Historia Natural.

Ageneiosus magoi, A New Species of Ageneiosid Catfish (Teleostei, Siluriformes) from Venezuela and Some Notes on his Natural History.

Castillo, G. Otto y Oscar Brull G.

Instituto de Zoología Tropical, Facultad de Ciencias, Universidad Central de Venezuela.
Apartado 47058, Caracas 1041-A, Venezuela

RESUMEN

Se describe una nueva especie de bagre ageneiosido, *Ageneiosus magoi*, en base a ejemplares capturados en la región de los Llanos Centrales de Venezuela. Los machos adultos presentan un dimorfismo sexual estacional, expresado en modificaciones de las barbillas maxilares, de la espina de la aleta dorsal y de la región anterior de la aleta anal, donde se forma un órgano copulador intromitente. Durante la época de reproducción (mayo-julio), que coincide con el período de lluvias, ocurre un proceso de cortejo y cópula, donde intervienen de manera activa las estructuras modificadas de los machos. La talla a la que alcanzan la madurez sexual oscila entre los 130 y 140 mm de longitud estándar. La fecundidad promedio observada fue de aproximadamente 5.000 huevos. Es un depredador activo de peces, crustáceos, insectos acuáticos y ranas adultas. Se encontraron nemátodos intestinales del género *Spirocammallanus*, larvas enquistadas del nematódo *Contracaecum*, dos especies de trematodos digénicos en el intestino posterior y una especie de acantocéfalo intestinal.

SUMMARY

A new catfish, *Ageneiosus magoi*, from Venezuelan Central Llanos is described. Adult male dimorphism is stational, being expressed as modifications of the maxilar barbels and dorsal fin spines, and the formation of copulatory organ in the anterior region of the anal fin. Reproductive activities, courtship and copulation, involving elaborated use of the modified male structures, take place during may-july, coincidental with the rainy season peak. The size at which the sexual maturity was reached oscillated between 130 and 140 mm at standard lenght. Mean fecundity was 5.000 eggs approximately, for female. *Ageneiosus magoi* sp. n. was found to feed on fish, crustaceans, aquatic insects and adult frogs. Intestinal nematodes of the genus *Spirocammallanus*, encysted nematod larvae of the genus *Contracaecum*, and an Acanthocephala were found in its intestinal tract.

INTRODUCCION

La familia Ageneiosidae está formada por los géneros *Ageneiosus* y *Tympanopleura*. El género *Ageneiosus* fue creado por Lacépède en 1805 y se caracteriza principalmente por la ausencia de barbillas mentonianas, siendo designada como especie tipo *Ageneiosus armatus* de Surinam. El principal carácter utilizado en la literatura para separar los dos géneros, es la presencia de una vejiga de gas desarrollada y no encapsulada, que está asociada con la formación de un pseudotímpano en el género *Tympanopleura*, mientras que en el género *Ageneiosus* la vejiga de gas es muy reducida y está parcialmente encapsulada en un proceso de la cuarta vértebra precaudal (EIGENMANN y EIGENMANN, 1890; CHARDON, 1968).

El conocimiento que se tiene en la actualidad acerca de la sistemática del género *Ageneiosus* es escaso, siendo confuso el estatus taxonómico de muchas especies. Su historia natural es poco conocida, pese a constituir un grupo interesante, dada las profundas transformaciones osteológicas y morfológicas que sufren los adultos durante el período de reproducción. Estos peces, al igual que muchos auchenipterídos, son notables por su dimorfismo sexual secundario y por el complejo proceso de cortejo y cópula que presentan, existiendo poca información al respecto en la literatura (DAHL, 1971;

CASTILLO, 1982; CASTILLO y KOEPKE, 1986; KOEPKE, 1986).

Los bagres del género *Ageneiosus* están restringidos a cuerpos de agua dulce de América del Sur y Central, y se distribuyen desde Panamá hasta Argentina (LOWE-McCONNELL, 1971; NELSON, 1976). GOSLINE (1945) reporta 29 especies nominales, de las cuales tres son reportadas para Venezuela por SCHULTZ (1944) y MAGO (1970): *Ageneiosus brevifilis* CUVIER & VALENCIENNES 1840, *Ageneiosus caucanus* STEINDACHNER 1879 y *Ageneiosus freiei* SCHULTZ 1944; todas ellas explotadas comercialmente.

Colecciones de peces realizadas en ríos, caños, lagunas y préstamos de los estados Apure y Guárico durante los años 1980 a 1983, muestran la presencia de una nueva especie del género *Ageneiosus* para la ciencia y la ictiofauna continental de Venezuela. En este trabajo se describe a *Ageneiosus magoi* sp. n. y se suministran datos acerca de su historia natural.

MATERIALES Y METODOS

Los ejemplares examinados fueron colectados empleando redes de playa o chinchorros de 2.5 cm de abertura de malla. Para la determinación de los contajes y medidas se siguió a MAGO (1983). Las medidas fueron tomadas utilizando un calibrador de dial con 0.05 mm de apreciación y la de los juveniles

Figuras 1-9

Agenetiosus magoii especie nueva

Guárico. MCNG-17001, 1, 38.4 mm L. E. (juvenil), colectado el 11 de julio de 1986 por O. Castillo, M. Jiménez, N. Ortiz, D. Arana y A. Valera, en los Esteros de Camaguán km 267, cerca de la carretera Calabozo-San Fernando de Apure, Estado Guárico. MCNG-17002, 5, 129.72-159.52 mm L. E. (2 machos dimórficos) colectados el 25 de abril de 1982 por O. Brull, S. Martínez, C. Marrero y M. Gamallo, en un préstamo en los Esteros de Camaguán, en la margen derecha de la carretera Calabozo-San Fernando de Apure, Estado Guárico. MAC-APU-15, 1, 81.65 mm L. E. (juvenil) colectado el 24 de octubre de 1981 por O. Castillo y F. Provenzano, en los Esteros de Camaguán, km 269, margen de la carretera Calabozo-San Fernando de Apure, Estado Guárico. MAC-APU-950, 1, 118.28 mm L. E., colectado el 5 de enero de 1983 por N. Ortiz, E. Contreras, F. Ascanio, A. Valera y D. Arana, en el río Apure, frente al aeropuerto, San Fernando de Apure, Estado Apure. MAC-APU-951, 3, 154.84-170.00 mm L. E. (todos machos dimórficos) colectados el 27 de junio de 1984 por O. Castillo, P. Nass, P. Trebbau, F. Martínez y A. Valera, en la laguna "Los Laureles", Esteros de Camaguán, Estado Guárico. MAC-PAY-1203, 3, 155.94-165.54 mm L. E. (1 macho dimórfico), colectados el 28 de marzo de 1982 por O. Castillo, D. Arana, O. Brull, C. Marrero y L. Aguana, en caño Falcón, La Raya, Esteros de Camaguán, Estado Guárico. MHNLS-4507, 6, 110.65-153.95 mm L. E. colectados el 7 de junio de 1982 por N. Ortiz, E. Contreras, F. Ascanio y C. Pérez, en caño Falcón, La Raya, Esteros de Camaguán, Estado Guárico. MHNLS-7, 1, 133.00 mm L. E., colectado el 4 de noviembre de 1954 por Al. y Ma. Méndez., en el caño Benito, río Baúl, Estado Cojedes. MHNLS-8, 5, 153.00-173.00 mm L. E., colectados el 25 de enero de 1950 por A. Fernández Yépez en el río Salinas, N. E. de Baúl, alt. 125 msnm, Estado Cojedes. MHNLS-2640, 2, 125.00-128.50, colectados el 28 de febrero de 1979 por R. Feo, E. Salas, D. Taphorn y C. Lilyestrom en el caño Iguez, Papelón, carretera Guanare-Guanarito, Estado Portuguesa. MHNLS-2652, 2, 139.70-142.40, colectados el 14 de febrero de 1979 por R. Feo, D. Taphorn y C. Lilyestrom en un préstamo al lado del nuevo dique módulo UNELEZ, al lado oeste, Estado Apure. MHNLS-3143, 19, 137.30-182.00 mm L. E., colectados el 20 de abril de 1980 por R. Feo y A. González en el Hato "Laguna El Junco", km 78, carretera Tinaco-El Baúl, Estado Cojedes. MHNLS-4607, 6, 110.65-153.95 mm L. E., colectado el 7 de junio de 1982 por N. Ortiz, E. Contreras, F. Ascanio y C. Pérez en caño Falcón, Esteros de Camaguán, Estado Guárico.

Ejemplares adicionales. MBUCV-V-15679, 1, 147.20 mm L. E., colectado el 23 de mayo de 1970 por f. Mago y L. Aguana, en el río Portuguesa, La Manga, cerca de Camaguán, Estado Guárico. MBUCV-V-15680, 4, 161.61-169.84 mm L. E. (todos machos dimórficos), colectados el 27 de junio de 1984 por O. Castillo, P. Nass, P. Trebbau, f. Martínez y A. Valera, en la laguna "Los Laureles", Esteros de Camaguán, Estado Guárico. MBUCV-V-15681, 1, 1.74 mm L. E., colectado el 18 de enero de 1980 por

F. Provenzano *et al.*, en el río Manglar, cerca del puente, carretera San Fernando de Apure-Arichuna, Estado Apure. MBUCV-V-15682, 3, 140.10-182.34 mm L. E., colectados el 16 de mayo de 1980 por F. Provenzano, L. Aguana, L. Gorri y M. Moscó, en caño Falcón, La Raya, Esteros de Camaguán, Estado Guárico. MBUCV-V-15683, 3, 165.82-176.72 mm L. E. (1 macho dimórfico), colectado el 12 de agosto de 1980 por F. Provenzano, O. Castillo, D. Arana y L. Aguana, en los Esteros de Camaguán, km 268, margen izquierda, Estado Guárico. MBUCV-V-15684, 2, 153.58-175.00 mm L. E., colectados el 18 de junio de 1980 por D. Arana, J. Nuñez, F. Provenzano, L. Aguana y O. Castillo, en los Esteros de Camaguán, km 268, margen izquierda de la carretera, Estado Guárico. MBUCV-V-15685, 4, 163.28-192.72 mm L. E., colectados el 24 de abril de 1980 por O. Castillo y F. Provenzano, en la laguna "Los Laureles", frente a La Raya, Esteros de Camaguán, Estado Guárico. MBUCV-V-15686, 8, 140.00-179.84 mm L. E. (4 machos dimórficos), colectados el 18 de junio de 1980 por D. Arana, J. Nuñez, F. Provenzano, L. Aguana y O. Castillo, en los Esteros de Camaguán, km 268, margen izquierda de la carretera hacia San Fernando, Estado Guárico. MBUCV-V-15687, 20, 130.30-174.00 mm L. E. (14 machos dimórficos), colectados el 18 de junio de 1980 por O. Castillo y F. Provenzano, en los Esteros de Camaguán, km 275, margen derecha de la carretera a San Fernando de Apure, Estado Guárico. MBUCV-V-15688, 15, 132.54-177.22 mm L. E. (13 machos dimórficos), colectados el 18 de junio de 1980 por D. Arana, J. Nuñez, F. Provenzano, L. Aguana y O. Castillo, en los Esteros de Camaguán, km 269, Estado Guárico. MBUCV-V-15690, 1, 187.48 mm L. E., colectado el 24 de abril de 1980 por O. Castillo y F. Provenzano, en la laguna "Los Laureles", frente a caño Falcón, en La Raya, Estado Guárico. MBUCV-V-15690, 4, 136.38-159.20 mm L. E., colectados el 14 de febrero de 1980 por O. Castillo, F. Provenzano y N. Padilla, en los Esteros de Camaguán, km 269, Estado Guárico.

Diagnosis. Espinas pectorales y dorsal punzantes; espinas pectorales con pequeñas aserraciones en su margen posterior; espina dorsal aserrada en su margen anterior y posterior; cuerpo moderadamente profundo, altura a nivel del origen de la aleta anal de 17.63 a 33.00 por ciento (22.61%) de la longitud estándar; base de la aleta dorsal 5.54 a 9.16 por ciento (7.60%) de la longitud estándar; ancho de la boca 57.03 a 67.87 por ciento (62.81%) de la longitud de la cabeza; radios pectorales I, 11; radios anales iv, 32; 9 radios branquiestegios; aleta caudal truncada; patrón de coloración con dos bandas oscuras longitudinales: una superior y delgada, que se extiende desde la base de la aleta dorsal hasta el margen superior de la aleta caudal y otra inferior, que parte desde el borde posterior de la cabeza, recorriendo la línea media, hasta el nivel del ano.

Descripción. La Tabla 1 muestra la morfometría del holotipo y 5 paratipos.

c) Coloración en alcohol: el dorso es oscuro con una banda blanca en la lmea media dorsal, extendiéndose desde el origen de la base de la alleta dorsal hasta el margen de la base de la alleta adiposa. Flancos

Presentan 9 radios brinquedos, marqueta de 11 radios, el primer radio en forma de "V", invertida con los brazos inferiores muy desarrullados y dirigidos hacia arriba, el segundo radio a manera de espina fuerte y punzante; letra de 27-32 radios, letras pectorales con I, 11 anal con IV, 16 barquillas de plástico con I, 12; letras pelvicas con I, 6 radios; presentas de 11 a 16 barquillas en el primer arco branquial, siendo 11 el número más frecuente.

El cuero es robusto y compacto lateralmente. La cabeza es deprimida, ganchava en su periferia dorsal y recubierta por una piel fina. El hocico es redondeado y corto. La frontal frontal es ancha y se

b) Proporciones refiriéndas al largo de la cabeza membranosa (Tábla 2): largo del hocico de 44.50 a 44.53 por ciento (48.38%); diámetro del ojo de 8.91 a 13.84 por ciento (11.28%); ancho interorbital de 8.91 a 13.96 por ciento (53.82%); distancia internartrial de 8.42 a 15.59 por ciento (11.85%); distancia ojo-narina posterior de 22.38 a 28.42 por ciento (25.01%); largo de la espina pectoral de 30.38 a 33.51 por ciento (45.24%); largo de la espina dorsal de 32.20 a 33.51 por ciento (45.27%).

a) Proporciones referidas al largo estandar (*Taba la 2*): largo de la cabezas (membranosa) de 27.06 a 39.98 por ciento (32.05%); distancia pedrosal de 27.73 a 38.52 por ciento (31.79%); distancia pedrosal de 46.93 a 54.99 por ciento (51.66%); base de la vicia de 46.93 a 54.99 por ciento (51.66%); distancia pedrosal de 30.41 a 47.76 por ciento (38.23%); largo del pedunculo caudal de 9.28 a 12.31 por ciento (10.75%); altura menor del pedunculo caudal de 7.78 a 10.75 por ciento (9.67%); distancia pedrosal de 65.97 a 80.13 por ciento (76.61%); prediposada de 65.97 a 80.13 por ciento (76.61%); distancia pedrosal de 3.63 a 9.30 por ciento (13.77%); base de la adiposa de 11.64 a 15.55 por ciento (13.77%); largo de la adiposa de 3.63 a 9.30 por ciento (6.04%); largo de la alleta pectoral de 12.45 a 16.60 por ciento (15.13%); alleta de la alleta pelvica de 9.26 a 16.03 por ciento (13.13%).

	Médidas	MBUCV-V	Parátipo MBUCV	Parátipo MBUCV	Parátipo MBUCV	MBUCV-V	Holotípico	MBUCV-V	Parátipo MBUCV	Parátipo MBUCV	Parátipo MBUCV	MBUCV-V	L. total
L. cabeca	155.00	43.40	89.25	134.70	141.25	153.75	181.30	51.30	101.50	154.00	166.35	180.20	180.20
L. estrandar	155.00	43.40	89.25	134.70	141.25	153.75	149.65	46.40	30.30	16.65	41.20	39.70	49.65
L. preadulta	124.20	32.25	70.55	103.15	17.65	114.90	80.90	22.30	70.40	47.20	22.30	70.40	76.45
L. preanál	101.65	26.10	56.70	85.00	86.10	91.50	10.90	13.20	30.55	78.80	8.80	12.35	12.10
L. postorbital	21.60	6.75	11.85	18.90	18.40	17.90	21.60	6.75	3.25	7.80	8.80	12.35	8.35
Base a. adiposa	6.30	3.60	8.30	7.25	7.25	8.35	6.30	3.60	12.00	7.75	8.75	16.05	20.10
Base a. dorsal	10.90	3.20	30.75	50.55	50.55	62.60	10.90	3.50	12.00	13.25	13.85	23.25	22.80
Base a. anal	4.60	12.30	27.70	40.60	41.40	49.80	4.60	12.30	27.70	40.60	41.40	49.80	49.80
A. ped.	20.10	2.32	7.05	—	—	23.25	20.10	5.50	12.00	18.65	20.40	20.95	23.25
L. a. Peletíca	20.10	2.32	7.05	—	—	23.25	20.10	5.50	12.00	18.65	20.40	20.95	23.25
I. hólico	16.05	3.50	12.00	13.25	13.85	15.65	16.05	3.50	12.00	8.75	8.75	16.05	16.05
Díam. ojo	5.05	1.99	2.95	4.25	4.25	4.90	5.05	1.99	2.95	4.25	4.25	5.30	5.30
Ancho interorb.	26.00	8.05	20.45	21.40	18.55	19.65	26.00	8.05	20.45	21.40	18.55	19.65	19.65
Dist. internar.	5.00	2.00	3.55	4.70	5.35	5.35	5.00	2.00	3.55	4.70	5.35	5.35	5.35
Dist. ojo-nar.	14.10	3.50	10.50	10.40	10.55	10.45	14.10	3.50	10.50	10.40	10.55	10.45	10.45
Ancho boca	29.75	10.90	19.00	27.85	26.55	29.25	29.75	10.90	19.00	27.85	26.55	26.55	26.55
Dist. hoc. nar.	12.15	4.25	8.50	9.95	10.55	10.45	12.15	4.25	8.50	9.95	10.55	10.45	10.45
L. esp. pect.	21.05	6.15	11.80	19.35	20.85	23.25	21.05	6.15	11.80	19.35	20.85	20.85	23.25
L. esp. dorsoal	22.20	7.70	12.80	19.35	20.85	23.65	22.20	7.70	12.80	19.35	20.85	20.85	23.65

MORFOMETRIA DEL HOLOTPO Y DE 5 PARATIPOS DE *AGENETIOSUS MAGOI* sp.n.

TABLA I

y región ventral del cuerpo blanquecinos. Una banda lateral oscura, estrecha y algunas veces interrumpida, se extiende desde la región dorsal de la cabeza hasta la altura de la base de la aleta anal, siguiendo la línea lateral. Esta banda se atenúa y en alguno ejemplares desaparece. Aletas dorsal, pectorales, pélvicas, anal y adiposa hialinas. Borde anterior de las espinas dorsales y pectorales con una pigmentación oscura difusa. Aleta caudal con dos manchas oscuras,

una dorsal que se continúa con la banda del dorso del cuerpo y que se extiende, en forma de media luna, hasta un tercio de la aleta y otra ovalada que ocupa el lóbulo inferior de la aleta (Fig. 1 y 2). En algunos juveniles y en los ejemplares mantenidos en acuarios, además del patrón antes descrito, se presentan una serie de manchas oscuras, irregulares y de contornos definidos a los lados del cuerpo y en todas las aletas.

TABLA II

PROPORCIONES (PORCENTAJE) EN RELACION A LA LONGITUD ESTANDAR Y A LA LONGITUD DE LA CABEZA (% C)
DE *AGENEIOSUS MAGOI* sp.n.

Proporciones	Nº	Mín.	Máx.	Med.	D.S.
L. total	29	47.25	204.90	150.37	42.38
L. estándar	31	39.85	178.00	127.37	37.39
L. cabeza	31	27.06	39.98	32.05	2.70
L. predorsal	31	27.73	38.52	31.99	2.57
L. preadiposa	27	65.97	80.13	76.61	1.56
L. prepélvica	31	46.95	54.99	51.66	1.66
L. preanal	31	59.50	68.04	62.90	1.97
L. postorbital	31	11.64	15.55	13.77	0.89
L. interdorsal	30	30.41	47.76	38.23	3.12
Base a. dorsal	31	5.54	9.16	7.60	1.01
Base a. adiposa	29	3.63	9.30	6.04	1.33
Base a. anal	31	25.58	32.39	29.54	1.61
L. a. pectoral	11	12.45	16.60	15.13	1.23
L. a. pélvica	31	9.26	16.03	13.13	1.46
Alt. ped. caudal	30	7.78	10.75	9.67	0.78
L. ped. caudal	30	9.28	12.31	10.75	0.73
L. hocico (%C)	31	44.50	54.53	48.38	2.45
Diám. ojo (%C)	30	8.91	13.84	11.28	1.31
Ancho interorb. (%C)	31	43.39	75.96	55.82	10.21
Dist. internar. (%C)	31	8.42	15.59	11.85	1.31
Dist. ojo-nar. (%C)	31	20.17	33.21	26.76	3.08
Dist. hocico-nar. (%C)	31	22.38	28.42	25.01	1.65
Ancho boca (%C)	30	57.03	67.87	62.81	2.71
L. esp. pectoral (%C)	29	30.38	57.35	45.24	6.08
L. esp. dorsal (%C)	23	32.20	53.51	45.27	6.49

d) Coloración *in vivo*: Es similar a la anterior, sólo que presentan una tonalidad amarillenta que degrada desde la región dorsal a la ventral. Esta coloración es más intensa en las aletas.

Etimología. El nombre *magoi* es dedicado al doctor Francisco Mago Leccia, por su gran aporte al estudio y conocimiento de la ictiofauna continental de Venezuela y por su valiosa labor en la formación de una nueva generación de ictiólogos.

Distribución: *Ageneiosus magoi* sp.n. es conocida para ríos, caños, lagunas y préstamos de la región de los Llanos Centrales de Venezuela, en los Estados Apure, Guárico, Portuguesa y Cojedes (Fig. 4).

HISTORIA NATURAL

Reproducción. Los machos de *Ageneiosus magoi*, sexualmente maduros, presentan un acentuado

dimorfismo sexual, que se manifiesta con la formación de un órgano copular intromitente (pseudopene, *sensu* VON IHERING, 1937 y MAGO, 1983), donde están implicados el cuarto, quinto y sexto radio de la aleta anal (Fig. 5 y 6). Las barbillas maxilares y el segundo radio o espina de la aleta dorsal, también se modifican sufriendo un proceso de masificación ósea y subsecuente alargamiento, con formación de proyecciones espinosas. El margen anterior de la espina dorsal presenta la apariencia de una sierra con las proyecciones espinosas en forma de ganchos (Fig. 2 y 7).

Los testículos, son estructuras pares y cada uno consta de un número de lóbulos que oscila entre 9 y 14. En esta especie se observa una "vesícula seminal" o vesícula intermedia, localizada entre los testículos y el pseudopene, de paredes lisas y consistencia esponjosa (Fig. 8).

TABLA III

CASTILLO & BRULL G.: AGENCIOUS MAGO, UNA NUEVA ESPECIE DE BAGRE

18-I-80	Frecuencias	Número	Estructura de Desarrollo General
14 al 16-II-80	3	II	transformaciones
14 al 16-II-80	2	II	transformaciones
14 al 16-II-80	1	II	transformaciones
19-III-80	7	II	transformaciones
22 al 24-IV-80	1	II	transformaciones
16 al 19-V-80	4	II	transformaciones
18 al 20-VI-80	3	II	transformaciones
18 al 20-VI-80	28	II	transformaciones
14-IV-80	14	II	transformaciones
12-VIII-80	1	II	transformaciones
12-VIII-80	1	II	transformaciones
12-VIII-80	1	II	transformaciones
12-VIII-80	1	II	transformaciones

TABLA I

CONTENIDO ESTOMACAL DE
CONTEINDO ESTOMACAL DE
EFEMPIARAS ADULTOS
DE AGENIOSUS MAGOI sp. n.
DE AGENIOSUS MAGOI sp. n.

TABLA A

INCLUIDENCA DE MACROPARASITOS EN 78
EJEMPLARES DE AGENESIOSUS MAGOI sp. n.

TABLA VI

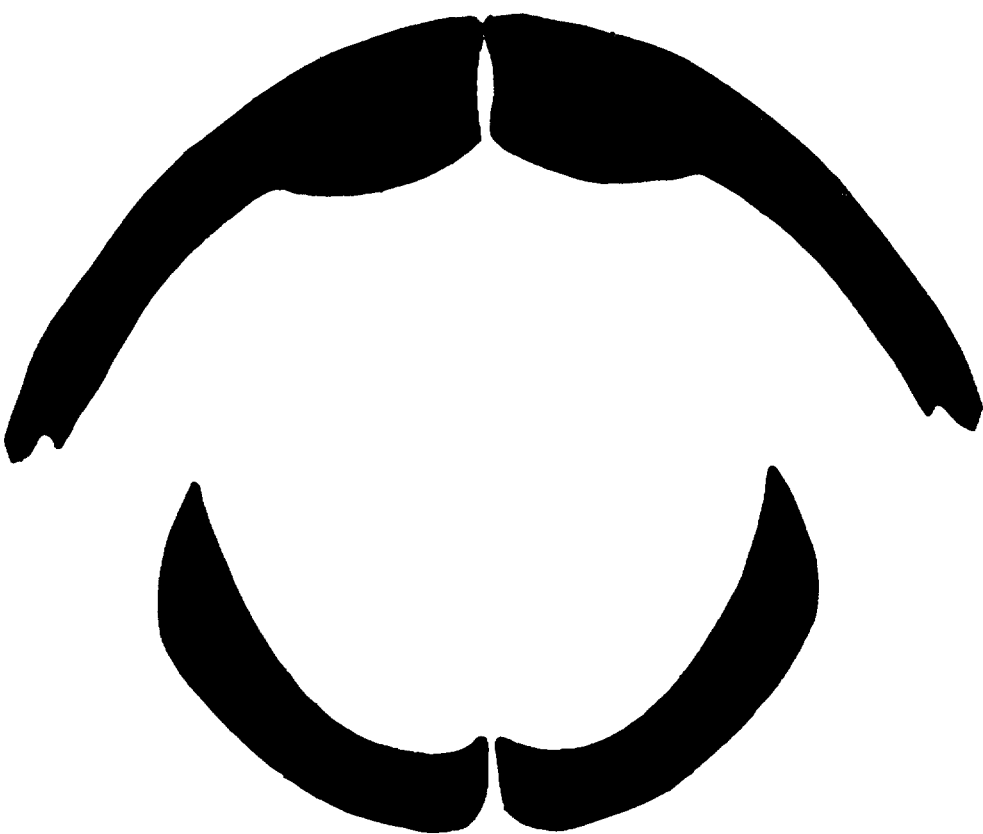


Fig. 3. Banda de dientes de *Ageneiosus magoi* sp. n.

Las hembras sexualmente maduras presentan un ensanchamiento de la porción distal de los oviductos, los cuales se fusionan formando un "útero simple" (*sensu* VON IHERING, 1937) y que sirve para alojar al pseudopene durante el proceso de cópula. Generalmente, las hembras presentan un mayor tamaño que los machos.

En la naturaleza, el proceso de transformación se inicia durante el pico máximo de sequía (febrero-marzo), manifestándose en los machos por un progresivo desarrollo y osificación de las barbillas maxilares, migración de la papila urogenital sobre el borde anterior de la aleta anal y la fusión del cuarto, quinto y sexto radio de esta aleta, para formar el pseudopene. En las hembras sólo ocurre un ensanchamiento progresivo de la papila urogenital. El proceso de maduración gonadal está sincronizado con el cambio de los caracteres sexuales secundarios. Para finales del mes de abril y comienzos del mes de mayo, los ejemplares se encuentran en estado IV de madurez sexual (Tabla 3). Los desoves comienzan en el mes de junio y se extienden hasta el mes de agosto (período de lluvias). La especie presenta un complicado proceso de cortejo y cópula, donde intervienen de manera activa las estructuras modificadas de los machos, el cual ha sido descrito por CASTILLO Y KOEPKE (1985) y KOEPKE (1986).

Para 11 hembras maduras de *Ageneiosus magoi* se encontró una fecundidad promedio de 4.922 óvulos

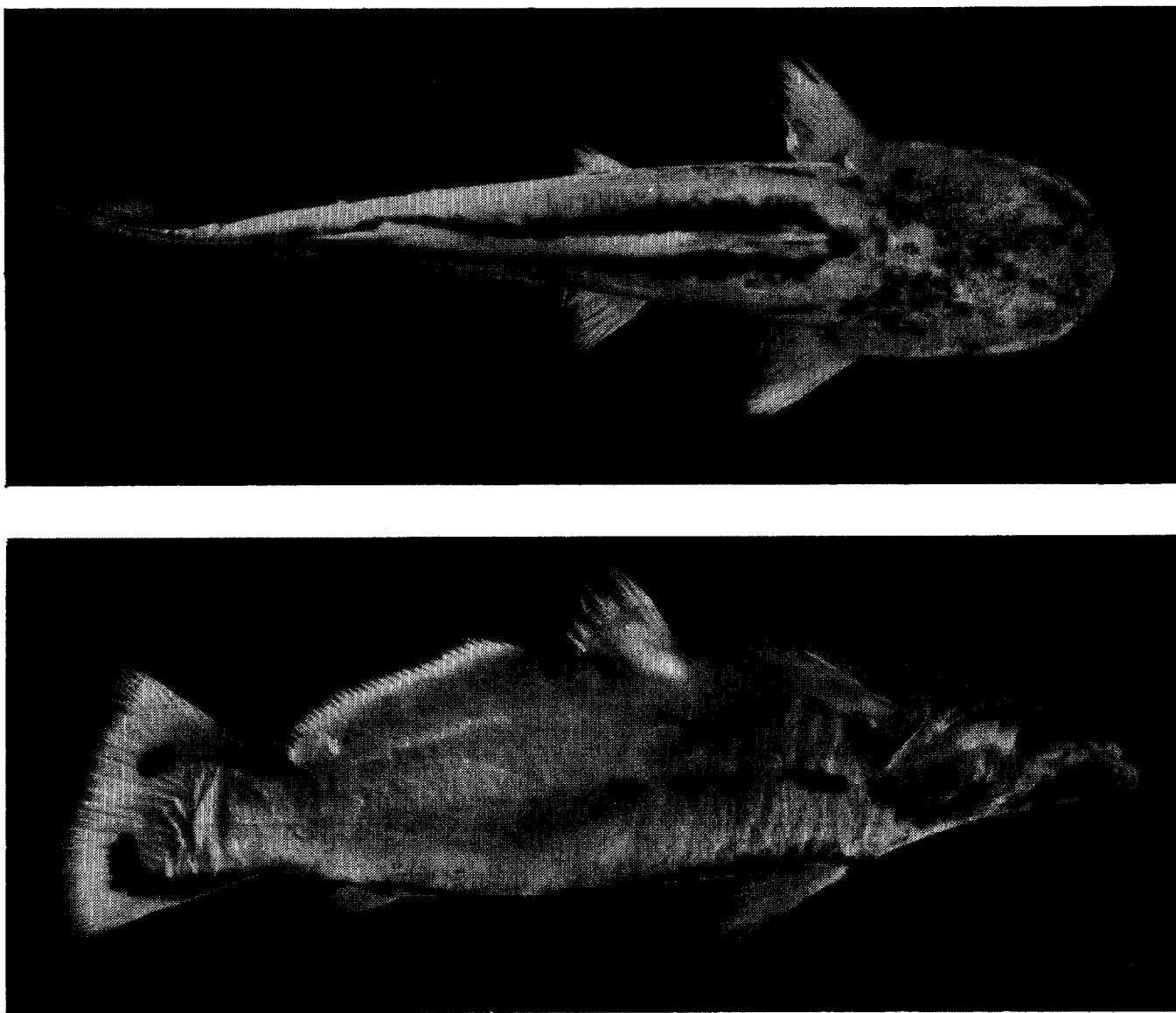
(415 óvulos por gramo de peso corporal). Los óvulos son relativamente grandes y su tamaño osciló entre 1.2 y 1.5 mm de diámetro, con un valor promedio de 1.31 mm, en ovarios previamente fijados en formol; no se encontraron diferencias marcadas en el tamaño de los óvulos a lo largo de la gonada.

Los machos alcanzan la madurez sexual a los 123.9 mm de L. E. (150.4 mm de L. E. en promedio) y las hembras a los 145.7 mm de L. E. (173.2 mm de L. E. en promedio). La proporción sexual encontrada para 93 ejemplares adultos es de 1:0.8, a favor de los machos.

Relación talla-peso. La relación talla-peso para 45 machos adultos dio una recta de ecuación $T = 0.52 P + 118.2$ (donde T = talla y P = peso), con un coeficiente de correlación $r = 0.90$. Para 30 hembras adultas se obtuvo una recta de ecuación $T = 0.45 P + 123.3$, con un $r = 0.94$.

Alimentación. El análisis del contenido estomacal de 26 ejemplares adultos, reveló un predominio de alimentos de naturaleza animal (Tabla 4). Se encontraron ranas de la especie *Leptodactylus fuscus* (Anura, Leptodactylidae) con valores de 61.54 por ciento y 92.74 por ciento para los métodos de frecuencia de aparición y gravimétrico respectivamente y peces de las familias Characidae, Pimelodidae y Loricariidae con valores de 30.77 por ciento y 5.85 por ciento para ambos métodos, respectiva-

FIG. 1. *Ageneotusus maggot* sp. n. Holotype, MBUCV-V-13666, 155.00 mm de L. E. a) Vista lateral; b) Vista dorsal.



Se encuentra una especie de *Acanthoceraspis*, no identificada, en el interior y en muy bajas densidades.

Dos especies de termitodos diligenciados adultos y no identificados, se detectaron en 14 ejemplares; ambas coexisten en la mayoría de los peces infectados y se localizaron en el intestino posterior. El porcentaje de infeccción es esta subestimada debido a la dificultad de localizarlos por su pequeño tamaño.

Se encontraron también, larvas endóquísticas del nemátodo *Gontracanthus sp.*, en el mesenterio que rodea al estómago hacia la región pilórica y en una basja incidentaria de infección.

cuales probabilmente representan una nueva especie para la ciencia (GÜERRERO, com. per.). Estos nematodos se alojan a lo largo de todo el intestino, sin una ubicación especial.

Parasitos. En relación a los macroparasitos (Tabla 6), se encuentra una alta incidencia de nemátodos peritoneales al género *Spirocalamallanus*, los

menos. El material vegetal presenta valores muy bajos, lo cual indica que su ingestión fue accidental, no constituyendo este ítem un componente normal en la dieta de esta especie.

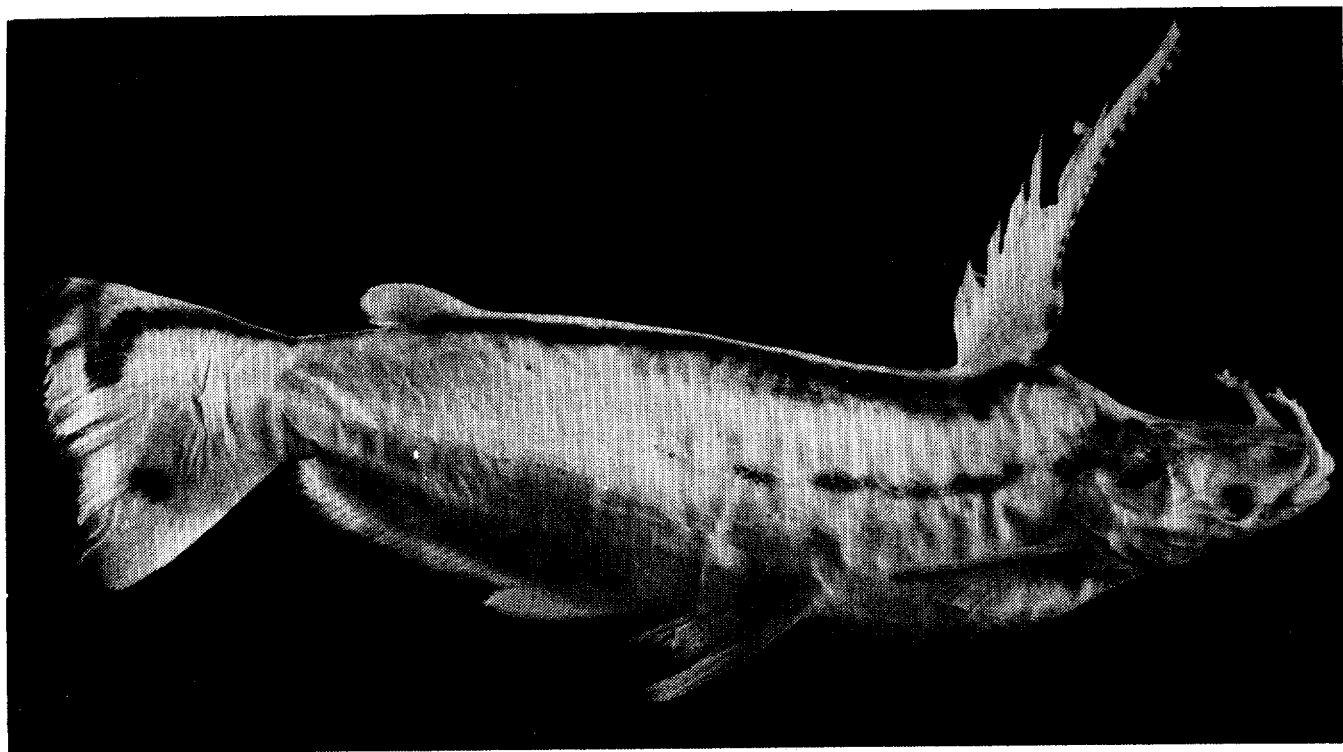


Fig. 2. *Ageneiosus magoi* sp. n., macho dimórfico. Paratipo, MBUCV-V-15670, 157.25 mm de L. E.

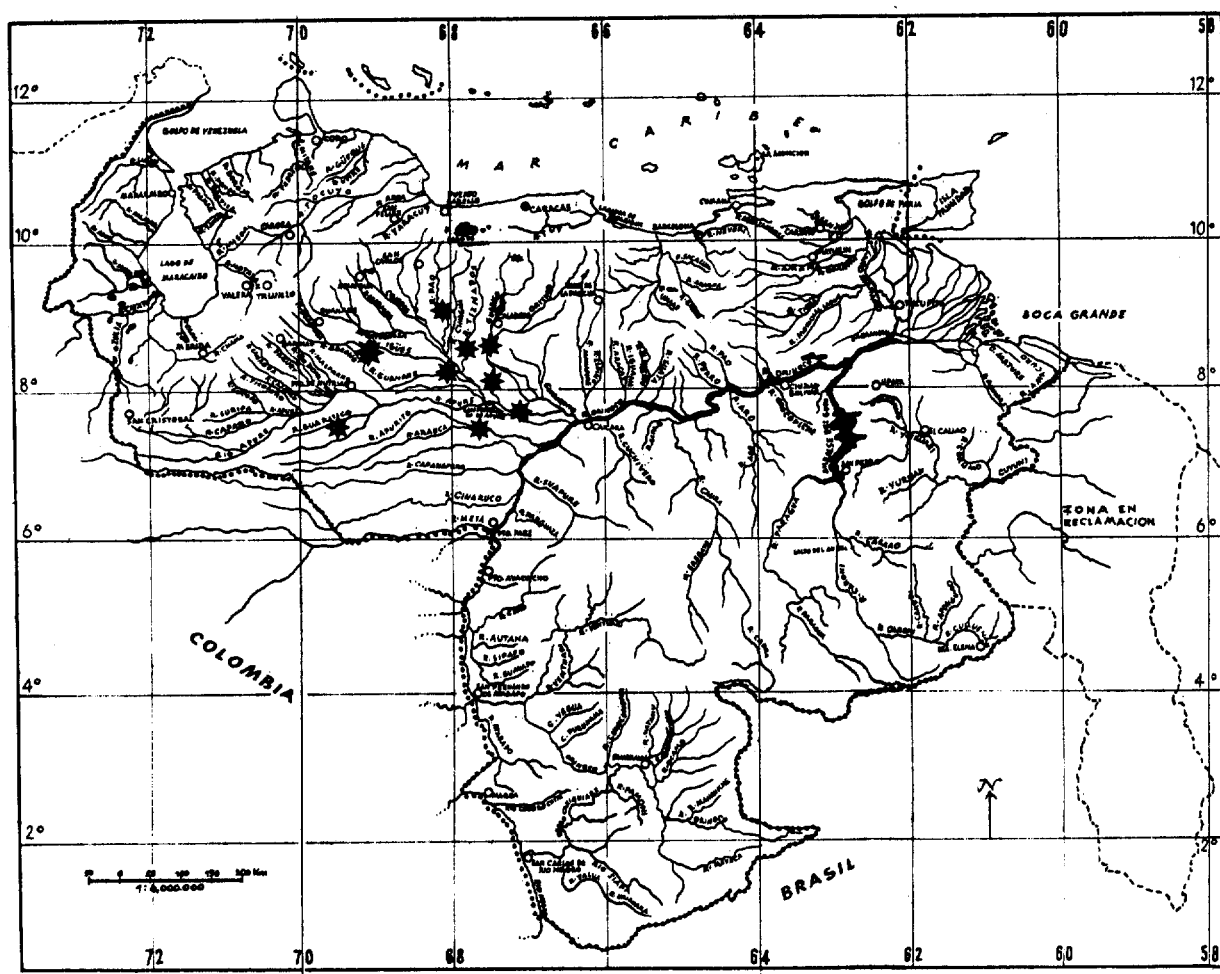
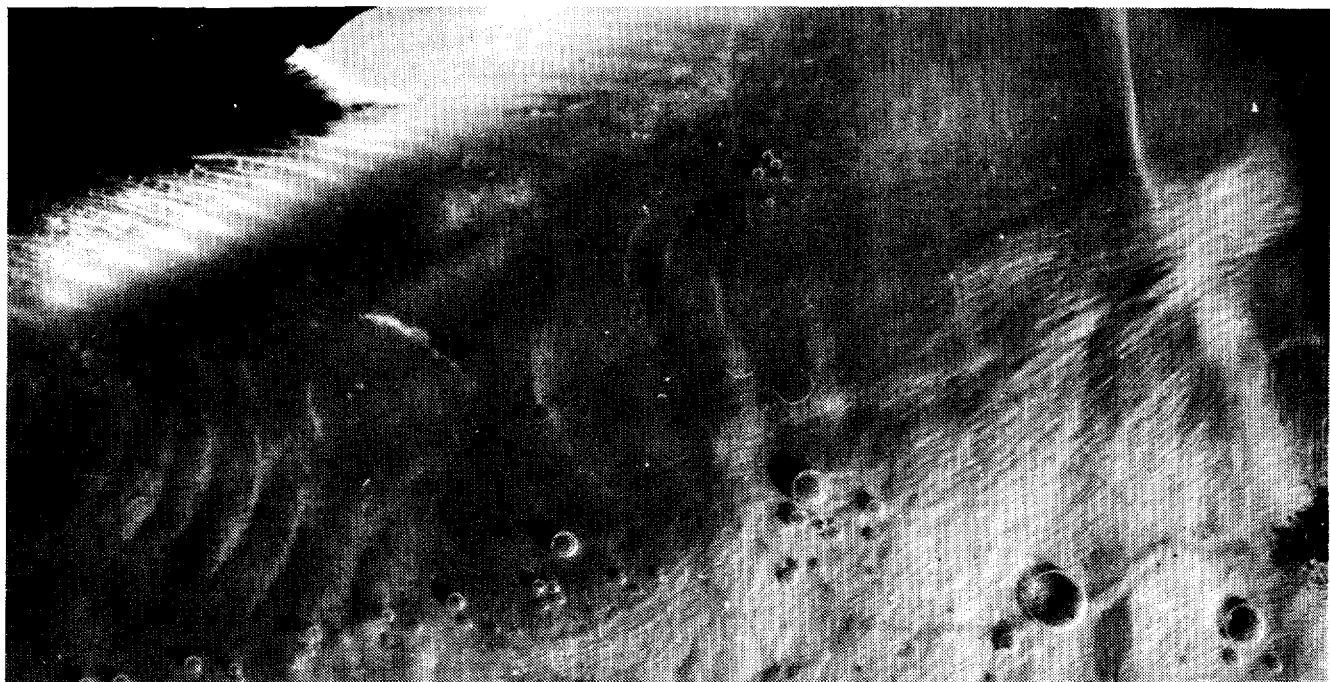


Fig. 4. Área de distribución de *Ageneiosus magoi* sp. n.

DISCUSSION

Fig. 5. Detalle del pseudopené de *Agenetisus mago* sp. n.



Agendados magot presentan un comportamiento sexual elaborado que implica cortesía, copula y fecundación interna (Castillo y Koopke, 1985; Koopke, 1986). Una compor-tamiento ha sido reportado por von Hefring (1937) para el audíne- nüpferido *Tachycorystes striatulus* y tiene recientemente documentado por Burgess (1982) para *Tachycorystes insigatus*. Hoar (1969), afirma que la vesícula inter- media, en los peces que la presentan, no funciona como una estructura para el almacenamiento de esperma, sino que segrega sustancias que son impor- tantes en la transferencia de dicho esperma o que

El tipo de dimorfismo sexual encontrado en *Ageneiosus magoii* ha sido observado por nosotros en *A. brevifilis* y *recedra* al encontrao en algunas especies y miembros de la familia Auchenipteridae. Dicho dimorfismo sexual ha sido observado por autores como BIEGEMANN (1890), MIRANDA RIBIERO (1914) y DAHL (1971), siendo muy probable que estas transformaciones se presenten en todos los especies del género *Ageneiosus*. Este hecho ha traído conclusiones en la sistemática del grupo, ya que como señala MIRANDA RIBIERO (1914) muchas especies parecen haber sido descritas basándose en machos dimorficos; tal es el caso de *A. valenciennesi* y *A. armatus*.

abarcá la región de los Llanos Centrales de Venezuela. MAGO-LIECCA (comunicación personal) ha capturado ejemplares de A. magoensis sp.n. para la región del Delta del Orinoco (1982) reporta A. specie, para Los Llanos Centrales, Rio Caura y Delta del Orinoco, lo cual extendería el área de distribución de dicha especie.

Esta nueva especie se diferencia fácilmente de A. brevifilis (CUVIER & VALenciennes, 1840) y A. fretieri, que al norte de la cuenca del Lago de Maracaibo, mientras que A. fretieri es endotropical como biogeográficamente; A. fretieri es endotropical, con el número de Ageneiosus fretieri, basado en un macho dimórfico del río Apure. Las especies con el nombre de Ageneiosus fretieri, basado en una Rovana (1982) reporta a la especie aquí descrita como Ageneiosus fretieri Ageneiosus magot sp.n. en caracteres morfológicos y proporciones morfológicas para la cuenca del Lago de Maracaibo, mientras que A. fretieri es endotropical.

Ageneiosus magot sp. n. difiere tanto en caracteres morfológicos como meríticos con las especies reportadas en la literatura. La forma del cuerpo se acerca a la de *Ageneiosus vitellinus* STEINDACHNER 1908; sin embargo, difiere notablemente de esta por la presencia de una aleta caudal truncada (fúrcada en A. *vittatus*) y por el patrón de coloración.

intervienen en otras actividades reproductivas. La vesícula intermedia en el caso de los Ariidae se origina a partir de los conductos espermáticos y en algunos Auchenipteridae es formada a partir de los testículos (HOAR, 1969).

En *Ageneiosus magoi* no fue posible observar el proceso de desove, aunque el tamaño homogéneo de los óvulos en los ovarios maduros de esta especie, nos sugiere un tipo de desove total. *Ageneiosus magoi* presenta una fecundidad relativamente baja (4.922 óvulos) en relación con otros bagres continentales y de talla similar, como por ejemplo: *Pimelodus blochii* (58.322 óvulos, PROVENZANO 1980) y *Rhamdia quelen* (7.858 y 13.864 óvulos, ORTAZ 1980).

Los machos dimórficos de *Ageneiosus magoi* mantenidos en cautiverio revierten las estructuras modificadas al finalizar la época reproductiva, por un proceso de descalcificación (CASTILLO y KOEPEK, 1985). Este mismo mecanismo quizás explique la ausencia de ejemplares dimórficos en el medio natural pasada la época de reproducción.

La mayor proporción de machos en relación a hembras, obtenida para la especie (1:0.8), puede explicarse por la mayor captura que se realiza de éstos con las redes, al quedar atrapados por intermedio de los procesos espinosos de las barbillas y de la espina de la aleta dorsal. Es probable que la relación de sexos en la naturaleza se aproxime a la relación 1:1.

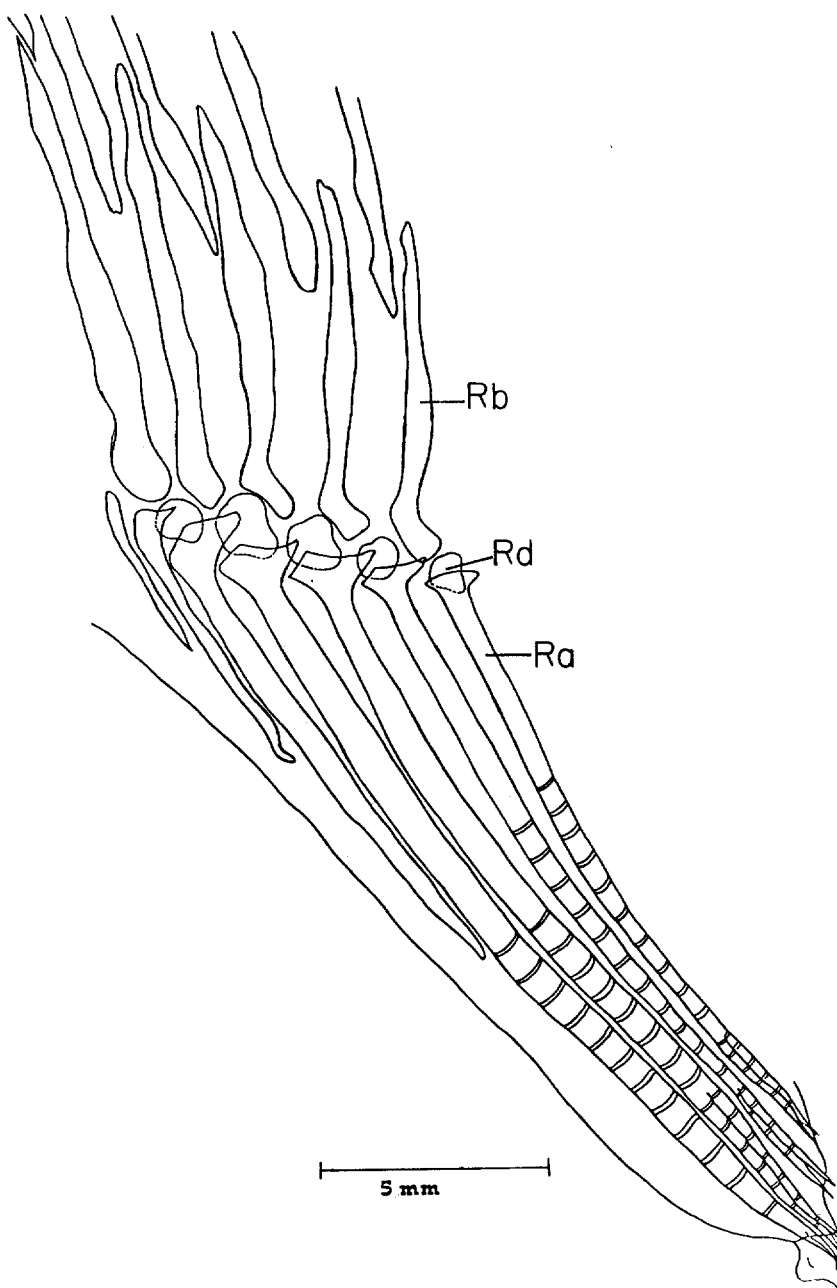


Fig. 6. Osteología de la región anterior de la aleta anal de un macho dimórfico de *Ageneiosus magoi* sp. n. Rb, radial basal (radial proximal más radial medial); Rd, radial distal; Ra, radio de la aleta.

Finalmente, se hace necesaria una revisión exhaustiva de la familia Ageneiosidae, más aún cuando a los caracteres ausencia de barbillas mentales y tipo y longitudo de las barbillas máximas mentales y juveniles de *Ageneiosus magoii* y de *Ageneiosus brevifilis* que se les ha dado mayor peso. Sabemos que los individuos de *Ageneiosus magoii* y de *Ageneiosus brevifilis* presentan los dos pares de barbillas máximales entre perdedores en la ontogenia primera el par interno y luego el par externo. La alternada filogenética entre las familias Ageneiosidae y Aucheniptera ha sido observada por diversos autores (MIRANDA-RIBIERO, 1987 y FERRARI, 1990; ROYERO, 1987 y 1991; GOSLINE, 1945; CHARDON, 1960; MIRANDA-RIBIERO, 1987 y FERRARI, 1990). Es evidente la estrecha relación entre los adultos de *Ageneiosus magoii* y de *Ageneiosus brevifilis* que se han desarrollado en la familia Aucheniptera. La modificación de la mandíbula que surgen las estrucciones modificadas en *Ageneiosus magoii* La especie *Tetranematichthys quadrifilis* es el Auchenipteridae que más se acerca al género *Ageneiosus* y es probable que futuros estudios reubiquen a esta especie en la familia Ageneiosidae.

Tieneo en este caso una especie de equilibrio entre el parásito y su hospedador.

Fig. 7. Detalle de la cabeza de un macho dimórfico de *Ageneiosus magoii* sp. n., se debe a que la colección en los meses de abril a junio, se produjo durante la época de reproducción de los ejemplares capturados durante la congeración en las aguas de esta rana y con su desarrollo estomacal; por lo tanto, se puede afirmar que época de sección solo presentaron peces en su conte-



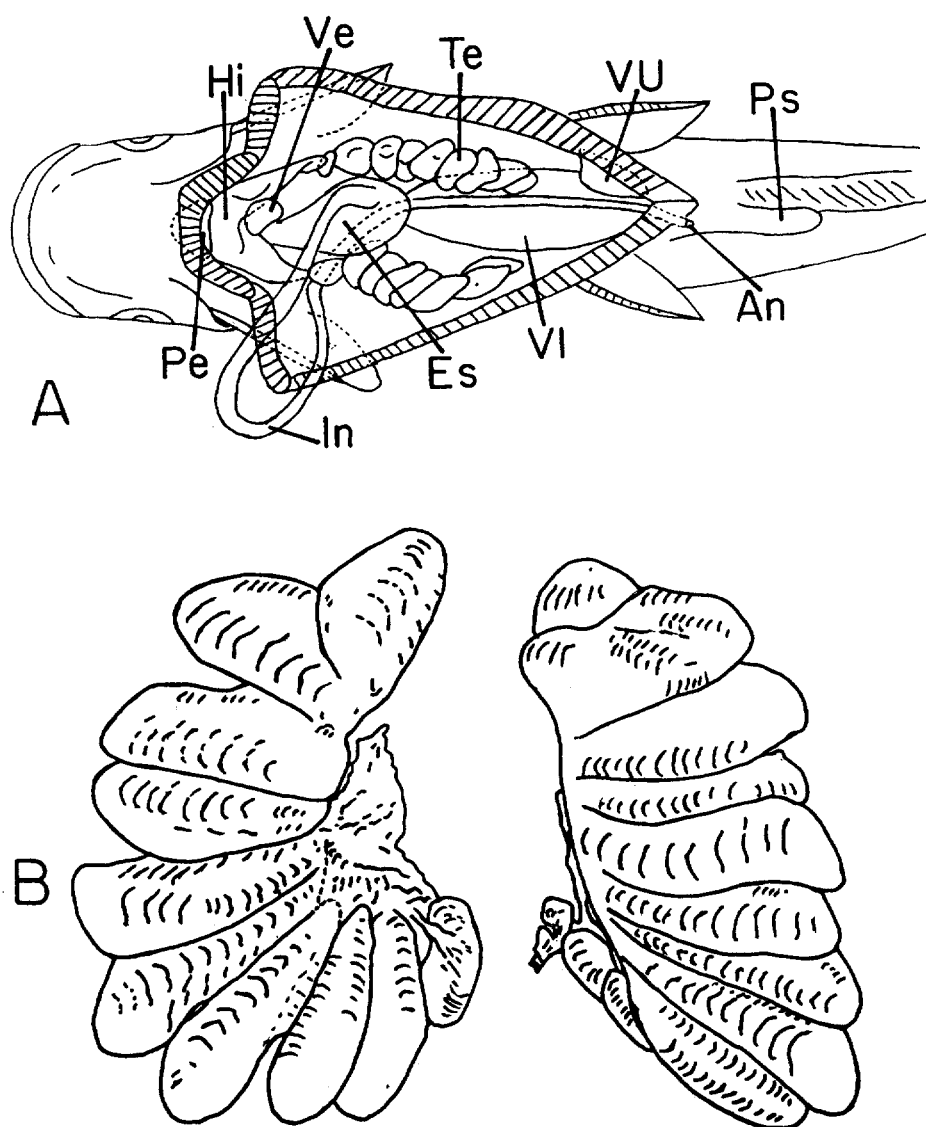
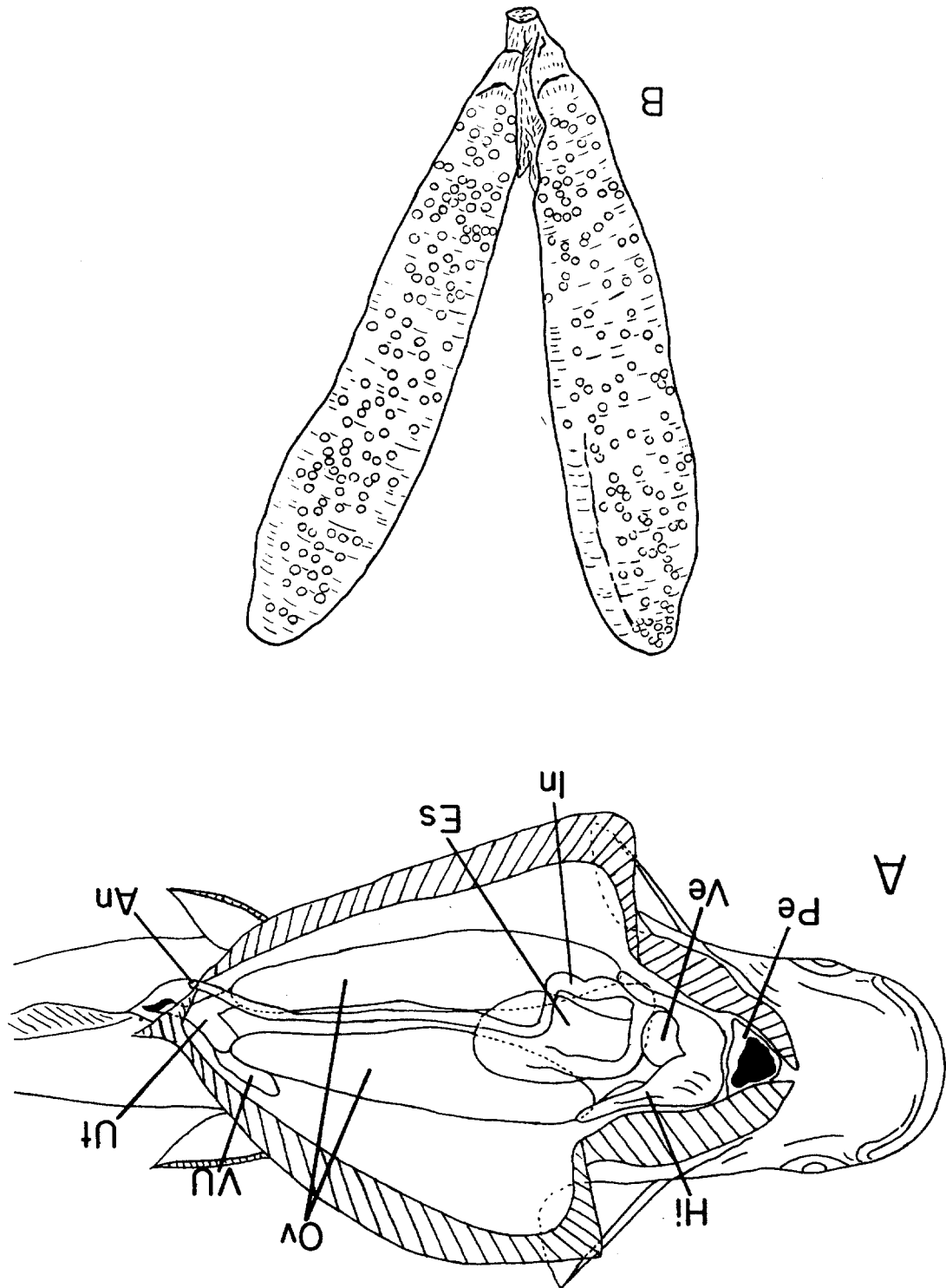


Fig. 8. A, anatomía interna de un macho dimórfico de *Agenetosus magoi* sp. n. B, Testículos. Pe, peritoneo; Hi, hígado; Ve, vesícula biliar; Es, estómago; In, intestino; Te, testículo; VI, vesícula intermedia; An, ano; Ps, pseudopene; VU, vejiga urinaria.

Vejiga urinaria.

Hígado; Ve, vesícula biliar; Es, estómago; In, intestino; Ov, ovarios; Ut, útero; An, ano; Vu,



AGRADECIMIENTOS

Los autores expresan su agradecimiento al personal técnico adscrito a la Estación Experimental Apure del FONIAP, así como a Leonidas Aguana y Narciso Padilla, quienes participaron en los muestreos donde se obtuvo la mayor cantidad de ejemplares. A los profesores Francisco Mago-Leccia, Antonio Machado-Allison, Francisco Provenzano y Héctor López-Rojas, quienes revisaron y criticaron el manuscrito. A los profesores Donald Taphorn, Delia Rada, Ricardo Guerrero, Carl Ferraris y a los licenciados Pedro Nass, Ramiro Royero y el señor Hans Koepke por sus valiosas sugerencias. A la técnica Elidia Valdez de Castillo, quien procesó algunas de las muestras y mecanografió el manuscrito.

LITERATURA CITADA

- BURGESS, W. E.
1982 — The first aquarium spawning of the woodcat, *Trachycorystes insignis*. Tropical Fish Hobbyist, 30(12): 84-89.
- CASTILLO, O.
1982 — Notas sobre la biología de *Ageneiosus* sp. (Siluriformes, Ageneiosidae). *Acta Científica Venezolana*. AsoVAC. Vol. 33, Suplemento N° 1, Caracas, Venezuela.
- CASTILLO, O. y H. KOEPKE
1985 — Aspectos sobre la reproducción del bagre *Ageneiosus* sp. n. (Teleostei, Siluriformes, Ageneiosidae). *Acta Científica Venezolana*. AsoVAC. Vol. 35, Suplemento N° 1, Mérida, Venezuela.
- CHARDON, M.
1968 — Anatomie comparée de l'appareil de Weber et des structures connexes chez les Siluriformes. Musée Royal de L'Afrique Centrale, Tervure, Belg., Ann. Zool., N° 169, 285 p.
- DAHL, G.
1971 — Los peces del norte de Colombia. INDERENA. Colombia. 362 p.
- EIGENMANN, C. H. y E. R. EIGENMANN
1890 — A revision of the South American Nematognathi or catfishes. Occas. Pap. California Acad. Sci. 508 p.
- FOWLER, H. W.
1948 — Os peixes de água doce do Brasil. Arq. Zool. São Paulo. 6: 405-628.
- GALLARDO, J. M.
1964 — Consideraciones sobre *Lectodactylus ocellatus* (L.) (Amphibia, Anura) y especies aliadas. Physis, 24(68): 373-384.
- GOSLINE, W. A.
1945 — Catálogo dos Nematognatos de água-doce de América do Sul e Central. Boletim do Museu Nacional. Rio de Janeiro. Nova Ser. Zool. N° 33, 138 p.
- GÜNTHER, A.
1864 — Catalogue of the British Museum. vol. 5: 453.
- HOAR, W. S.
1969 — Reproduction. En: *Fish Physiology*, Hoar, W.S. & D.J. Randall Edt., vol. III. Academic Press, New York, 485 p.
- IHERING, R. V.
1937 — Oviducal fertilization in the South American catfish, *Trachycorystes*. Copeia 4: 202-205.
- KOEPKE, H.
1986 — Erste Beobachtungen über das Fortpflanzungsverhalten von *Ageneiosus* spec. die Aquerien —und Terrarien— Zeitschrift (DATZ 9): 393-395.
- LAGLER, K. F.
1959 — *Freshwater fishery biology*. Second edition. Brown Company, Dubuque, Iowa. 421 p.
- LOWE-McCONNELL, R. H.
1975 — *Fish Communities in tropical fresh waters*. Logman, London. 337 p.
- MACHADO, A.
1977 — Estudio preliminar sobre la ictiofauna del río Portuguesa y aspectos sobre la biología de *Hoplosternum littorale* (Pisces, Siluriformes, Callichthyidae). Universidad Central de Venezuela, Facultad de Ciencias, Instituto de Zoología Tropical. 103 p.
- MAGO-LECCIA, F.
1970 — Lista de Peces de Venezuela. Oficina Nacional de Pesca. Ministerio de Agricultura y Cría. Caracas. 203 p.
- MAGO-LECCIA, F.
1981 — Dimorfismo sexual en *Entomocorus benjamini*: un caso para discutir estrategias reproductivas y filogenia en Siluriformes. *Acta Científica Venezolana*. AsoVAC. vol. 31, Suplemento N° 1. Maracaibo, Venezuela.
- MAGO-LECCIA, F.
1983 — *Entomocorus gameroi*, una nueva especie de bagre auquenipterido (Teleostei, Siluriformes) de Venezuela; incluyendo la descripción de su dimorfismo sexual secundario. *Acta Biológica Venezolana*, 11(4): 215-236.
- MARRERO, C.
1985 — Descripción de algunos métodos para cuantificar contenidos estomacales en peces. Publicaciones del Laboratorio de Ictiología. Instituto de Zoología Tropical. Universidad Central de Venezuela. Año 2, N° 1. 26 p.
- MIRANDA-RIBEIRO, A. de
1911 — Fauna Brasiliense. Peixes. V.(A). eleutherobranquios Aspirophorus. Arq. Mus. Nac. Rio de Janeiro, 16: 1-504.
- MIRANDA-RIBEIRO, A. de
1914 — Pimelodidae, Trachycrystidae, Cetopsidae, Bunocephalidae, Auchenipteridae e Hypophthalmidae. Comm. Limb. Telegr. Est. de Matto-Grosso ao Amazonas, 15 (5): 12-13.
- MEES, G. F.
1914 — The Auchenipteridae and Pimelodidae of Surinam (Pisces, Nematognathi). Zool. Verhand. Leiden, N° 132: 1-246.
- NELSON, J. S.
1976 — Fishes of the World. John Wiley & Sons, Wiley-Interscience Publ. XIII + 416 p.
- NIKOLSKY, G. V.
1963 — *The ecology of fishes*, Academic Press. London and New York. 352 p.
- NOVOA, D. F. y E. F. RAMOS
1978 — Las pesquerías comerciales del Orinoco. Corporación Venezolana de Guayana. Caracas, Venezuela. 161 p.
- ORTAZ, M.
1980 — Algunos aspectos de la biología del bagre *Rhamdia quelen* (QUOY & GAIMARD, 1864) (Teleostei: siluriformes), en el lago de Valencia, Venezuela. Trabajo Especial de Grado, Escuela de Biología, Facultad de Ciencias, Universidad Central de Venezuela. 120 p.

- PROVENZANO, F. - Biología de *Pimelodus blochii* Val, 1840 (Teleostei, Siluriformes, Pimelodidae) en los Llanos de Venezuela. Esquela I. Reproducción. Trabajo Especial de Grado, Escuela Central de Biología, Facultad de Ciencias, Universidad Central de Venezuela. 57 p.
- PROVENZANO, F., CASTILLO, A. & BRULLI, G. - AGENIEIOSUS MAGOI, UNA NUEVA ESPECIE DE BAGRE (Américas). Trab. Esp. de Biología, Esc. de Biología, Fac. de Ciencias, UCV. Caracas. 232 p.
- SCHULZ, L. P. - The catfishes of Venezuela, with descriptions of thirty-eight new forms. Proc. U. S. Nat. Mus., 1944.
- SCHULZ, L. P. - The catfishes of Venezuela, with descriptions of thirty-eight new forms. Proc. U. S. Nat. Mus., 1910.
- ROBERTS, T. H. - Underwater Agenciations and Farlowella etc. Ann. des K. Acad. naturhist. Hofmias. Wien, vol 29: 399-408, lams 8-10.
- ROBERTS, T. H. - Interrelationships of Ostracophyceans. En: Interrelations of fishes. Zool. Journ. of the Linn. Soc. London, 1973.
- ROBINS, B. - Los bagres. Colección de los peces de los Llanos de Venezuela. Vol. II. Fundación Ciencia Fluvial de Los Llanos. Caracas, Venezuela. 189 p.
- ROYERO, R. - Morfológia de la aleta dorsal en los bagres (Teleostei: Siluriformes), con especial referencia a las familias 1987 - Los bagres. Colección de los peces de los Llanos de Venezuela. Vol. II. Fundación Ciencia Fluvial de Los Llanos. Caracas, Venezuela. 189 p.
- ROYERO, R. - Los bagres, con especial referencia a las familias 1987 - Morfológia de la aleta dorsal en los bagres (Teleostei: Siluriformes), con especial referencia a las familias 1987 - Morfológia de la aleta dorsal en los bagres (Teleostei: Siluriformes), con especial referencia a las familias